

ЛИТЕРАТУРА

1. В о л я к Л. Д. Теплота испарения как функция удельного объема фаз. Ж. физ. химии, 1956, т. 30, вып. 10.
2. Г о ль ц о в а Е. И. Плотность лития, натрия и калия до 1500—1600° С. Теплофизика высоких температур, 1966, т. 4, № 3.
3. В а с и н А. С., С о л о в'ев А. Н. Экспериментальное исследование плотности жидкких металлов гамма-методом. В сб.: «Исследования теплофизических свойств веществ», Новосибирск, «Наука», 1967.
4. В у к а л о в и ч М. П., З у б а р е в В. Н., Ф о к и н Л. Р. Расчет термодинамических свойств паров калия при температурах до 1300° С и давлениях до 25 кг/см². Теплоэнергетика, 1962, № 8.
5. Термодинамические свойства индивидуальных веществ. Изд. 2., М., Изд-во АН СССР, 1962, т. 1, 2.
6. В и н о г р а д о в Ю. К., В о л я к Л. Д. Определение энергии диссоциации молекул Na₂ и K₂ по давлению насыщенного пара натрия и калия. Измерит. техника, 1967, № 3.
7. B o n i l l a Ch. F., S a w n e y D. L., M a k a n s i M. M. Vapor pressure of alkali metals Rubidium Cesium and Sodium alloy. up to 100 psi. Trans. Amer. Soc. Metals 1962, vol. 15, p. 877.
8. В о л я к Л. Д. Критические параметры щелочных металлов. Ж. физ. химии, 1966, т. 40, вып. 6.
9. А б р а м о в а В. М., К и р и л л о в П. Л. О критических параметрах щелочных металлов. Инж.-физ. ж., 1962, т. 5, № 1.
10. G r o s s e A. V. The temperature range of liquid metals and an estimate of their critical constants. J. Inorg. and Nucl. Chem., 1961, vol. 22, No. 1.
11. D i l l o n I. L., N e l s o n P. A., S w a n s o n B. S. Measurement of densities and estimation of critical properties of the alcali metals. J. Chem. Phys., 1966, vol. 44, No. 11.
12. В о л я к Л. Д., О сь м и н и н Ю. П. О поверхности натяжения щелочных металлов. Ж. физ. химии, 1968, т. 42, № 4.
13. К о п п И. З. К оценке критической температуры элементарных веществ. Ж. физ. химии, 1967, т. 41, вып. 6.
14. Г р а н с к Е. У., H e n s e l F. Metallic conductance of supercritical mercury gas at high pressures. Phys. Rev., 1966, vol. 147, No. 1.
15. D o u g l a s T. B., B a l l A. F., G i n n i n g s D. C. Heat capacity of liquid mercury between 0 and 450° С. J. Res. Nat. Bur. Standards, 1951, vol. 46, No. 4, p. 334.

О ТЕПЛООБМЕНЕ МЕЖДУ ПОВЕРХНОСТЬЮ И ПСЕВДООЖИЖЕННЫМ СЛОЕМ

*В. П. Мясников, М. С. Рождественская
(Москва)*

Одним из важных технологических применений псевдоожиженнного слоя является его использование в качестве охлаждающего агента в теплообменниках. Исследование этого процесса посвящено большое число работ, причем можно достаточно четко выделить два основных направления теоретического объяснения механизма теплообмена.

Первое исходит из представлений о многократном переносе тепла от поверхности твердыми частицами [1—3]; второе — из представлений о смене «пакетов» твердых частиц около стенки и прогрева пакета, как пористой среды [4—9].

В данной работе обсуждается вопрос о теплообмене между псевдоожиженным слоем и поверхностью на основе кинетической модели слоя, развитой ранее в работах [10—12].

1. Постановка задачи. Пусть в момент времени t частица вышла из непосредственного теплового контакта с поверхностью, имеющей фиксированную температуру T_w . Обозначим, далее, через β_0 коэффициент теплообмена между частицей и стенкой. Количество тепла, отдаваемое стенкой частице за время dt

$$dQ_i = mc_idT_i = \beta_0(T_w - T_i) dt \quad (1.1)$$

Здесь m — масса частицы, c_i — ее теплоемкость, T_i — среднеобъемная температура частицы.

Если частица оказалась в зоне непосредственного теплового контакта с охлаждаемой поверхностью в момент времени $\tau < t$, то ее температура в момент t будет равна

$$T_i(t) = T_w - [T_w - T_i(\tau)] \exp \left[-\frac{\beta_0}{mc_i} (t - \tau) \right] \quad (1.2)$$

Введем функцию распределения числа частиц $\Psi(t, x, u, T_i)$ такую, что среднее число частиц в объеме $(x, x + dx)$ со скоростями и температурами в интервале $(u, u + du)$ и $(T_i, T_i + dT_i)$ равно $\Psi dx du dT_i$.

Функция Ψ обычным образом связана с больцмановской функцией распределения

$$f(t, x, u) = \int_0^\infty \Psi(t, x, u, T_i) dT_i$$

Для частиц, попавших в зону теплового контакта в момент времени τ , среднее повышение температуры

$$\begin{aligned} T_i^\circ &= T_w - [T_w - \langle T_i(\tau) \rangle] \exp \left[-\frac{\beta_0}{mc_i} (t - \tau) \right] \\ \langle T_i(\tau) \rangle &= \frac{1}{n} \int_0^\infty T_i \Psi(\tau, x, u, T_i) dT_i du \end{aligned} \quad (1.3)$$

Обозначим через $P(\xi)$ вероятность пребывания частицы в зоне теплового контакта в течение времени ξ . Тогда наиболее вероятная температура частиц, которые выходят в момент времени t из зоны теплового контакта

$$\langle T_i^\circ \rangle = T_w - \int_{-\infty}^t [T_w - \langle T_i(\tau) \rangle] P(t - \tau) \exp \left[-\frac{\beta_0}{mc_i} (t - \tau) \right] d\tau \quad (1.4)$$

Количество тепла, уносимое этими частицами в момент времени t из зоны теплового контакта со стенкой, будет равно

$$Q_n^* = mc_i \left\{ T_w - \int_{-\infty}^t [T_w - \langle T_i(\tau) \rangle] P(t - \tau) \exp \left[-\frac{\beta_0}{mc_i} (t - \tau) \right] d\tau \right\} \int_{(un)>0} (un) f du \quad (1.5)$$

где n — нормаль к охлаждаемой поверхности, направленная в объем слоя.

Количество тепла, которое в тот же момент времени t частицы приносят из объема слоя в зону теплового контакта

$$Q_n^\circ = -mc_i \langle T_i(t) \rangle \int_{(un)<0} (un) f du \quad (1.6)$$

Учитывая теперь, что на непроницаемой для частиц поверхности

$$\int_{(un)>0} (un) f du + \int_{(un)<0} (un) f du = 0 \quad (1.7)$$

для количества тепла, уносимого из зоны теплового контакта в момент времени t , найдем

$$\begin{aligned} q_n &= mc_i \left\{ T_w - \langle T_i(t) \rangle - \int_{-\infty}^t [T_w - \langle T_i(\tau) \rangle] P(t - \tau) \exp \left[-\frac{\beta_0}{mc_i} (t - \tau) \right] d\tau \right\} \times \\ &\quad \times \int_{(un)>0} (un) f du \end{aligned} \quad (1.8)$$

Величина q_n должна быть равна потоку тепла, переносимого частицами в псевдоожиженном слое, так что в соответствии с результатами работ [11] будем иметь

$$\begin{aligned} -\frac{3mc_i}{8\sigma^2\chi} \left(\frac{\theta}{m\pi} \right)^{1/2} \frac{\partial \langle T_i \rangle}{\partial n} &= mc_i \left\{ T_w - \langle T_i(t) \rangle - \int_{-\infty}^t [T_w - \langle T_i(\tau) \rangle] P(t - \tau) \exp \times \right. \\ &\quad \times \left. \left[-\frac{\beta_0}{mc_i} (t - \tau) \right] d\tau \right\} \int_{(un)>0} (un) f du \\ \chi &= \frac{1 - 11/16 N}{1 - N}, \quad v_* n = N \end{aligned} \quad (1.9)$$

Здесь σ — диаметр частиц; θ — псевдотемпература [10]; v_* — объем, приходящийся на одну частицу при их плотной упаковке в пространстве; n — среднее число частиц в единице объема.

Как видно из (1.9), мгновенный поток тепла от охлаждаемой поверхности в момент времени t зависит от всей предыстории процесса. Только в случае стационарного состояния, когда $\langle T_i \rangle$ не зависит от времени, будем иметь

$$\begin{aligned} -\frac{3mc_i}{8\sigma^2\chi} \left(\frac{\theta}{m\pi} \right)^{1/2} \frac{\partial \langle T_i \rangle}{\partial n} &= h (T_w - \langle T_i \rangle) \\ h = mc_i \left\{ 1 - \int_0^\infty P(\xi) \exp \left(-\frac{\beta_0 \xi}{mc_i} \right) d\xi \right\} \int_{(un)>0} (un) f d\mathbf{u} \end{aligned} \quad (1.10)$$

2. Стационарный режим охлаждения вертикальной поверхности. Рассмотрим теперь характерные особенности стационарного процесса теплообмена между вертикальной поверхностью и омывающим ее слоем.

Предположим, для простоты, что продольная протяженность слоя велика сравнительно с его толщиной, а макроскопические потоки частиц в слое отсутствуют, и средняя скорость движения псевдогаза равна нулю.

Уравнения переноса тепла в слое [12] будут иметь следующий вид:

$$\begin{aligned} \lambda_i \Delta \langle T_i \rangle + \lambda_i \left(\frac{\partial \Phi}{\partial y} \right)_0 \left(\frac{\partial \langle T_f \rangle}{\partial y} - \frac{\partial \langle T_i \rangle}{\partial y} \right) + mnc_i \Phi (\langle T_f \rangle - \langle T_i \rangle) &= 0 \\ \lambda_f \frac{\partial^2 \langle T_f \rangle}{\partial y^2} - \rho_f c_f Q \frac{\partial \langle T_f \rangle}{\partial y} - mnc_i \Phi (\langle T_f \rangle - \langle T_i \rangle) &= 0 \end{aligned} \quad (2.1)$$

Система координат выбрана таким образом, что ось x направлена нормально к охлаждаемой стенке и лежит в плоскости, поддерживающей слой сетки, а ось y направлена вертикально вверх.

Эффективные коэффициенты теплопроводности λ_i и λ_f были получены в [11], а зависимость функции Φ от скорости фильтрации потока через слой, пористости слоя и коэффициентов теплопроводности частиц и газа обсуждается в работе [12].

Поскольку тепловой режим слоя предполагается стационарным, то все тепло, снимаемое со стенки частицами, уносится газовым потоком из слоя. Из второго уравнения (2.1) в общем случае

$$\frac{\rho_f Q c_f}{L} \sim \rho_i c_i \Phi \quad (2.2)$$

где ρ_i — плотность материала частиц, а L — характерный масштаб выравнивания температур потока и частиц.

Учитывая зависимость Φ от указанных выше параметров потока [12] и обозначая через l толщину слоя, будем иметь

$$\frac{L}{l} \sim \frac{\nu_f}{\kappa_f} \frac{\sigma^2 R}{l H_T(n, R, k_f/k_i)}, \quad R = \frac{Q\sigma}{\nu_f} \quad (2.3)$$

где ν_f — коэффициент кинематической вязкости газа; κ_f — его коэффициент температуропроводности; k_f , k_i — коэффициенты теплопроводности газа и частиц; σ — диаметр частиц; H_T — величина, пропорциональная числу Нуссельта для теплообмена частиц и потока.

В общем случае $L \sim l$, но для медленно прогревающихся частиц $L \gg l$.

Обращаясь теперь к первому уравнению (2.1), из условия теплового баланса найдем

$$\frac{\lambda_i}{\delta} L \sim \rho_f Q c_f \delta \quad (2.4)$$

где δ — характерная толщина слоя нагретых частиц в окрестности охлаждаемой стенки.

Из (2.2) и (2.4) получим

$$\frac{\delta^2}{L^2} \sim \frac{Q}{\varphi L} \frac{\sigma}{L} \ll 1 \quad (2.5)$$

Поскольку $L (\partial\Phi/\partial q)_0 \sim 1$, то, сохраняя в (2.1) члены, имеющие наибольший порядок величины, будем иметь

$$\begin{aligned} \lambda_i \frac{\partial^2 \langle T_i \rangle}{\partial x^2} + mnc_i \Phi (\langle T_f \rangle - \langle T_i \rangle) &= 0 \\ \lambda_f \frac{\partial^2 \langle T_f \rangle}{\partial y^2} - \rho_f Q c_f \frac{\partial \langle T_f \rangle}{\partial y} - mnc_i \Phi (\langle T_f \rangle - \langle T_i \rangle) &= 0 \end{aligned} \quad (2.6)$$

Краевыми условиями для (2.6) будут условия (1.10) и

$$\langle T_f \rangle|_{y=0} = T_s \quad (2.7)$$

Система (2.6) может быть легко решена в случае, если $L \sim l$. Представим тогда $\langle T_i \rangle$ и $\langle T_f \rangle$ в виде разложений

$$\langle T_i \rangle = \theta_i^{(0)} + \theta_i^{(1)} + \dots, \quad \langle T_f \rangle = T_s + \theta_f^{(1)} + \theta_f^{(2)} + \dots \quad (2.8)$$

Подставляя (2.8) в (2.6), получаем для последовательных приближений

$$\begin{aligned} \lambda_i \frac{\partial^2 \theta_i^{(0)}}{\partial x^2} + mnc_i \Phi (\theta_f^{(0)} - \theta_i^{(0)}) &= 0, \quad \theta_f^{(0)} = T_s, \quad \lambda_i \frac{\partial^2 \theta_i^{(1)}}{\partial x^2} + mnc_i \Phi (\theta_f^{(1)} - \theta_i^{(1)}) = 0 \\ \lambda_f \frac{\partial^2 \theta_f^{(1)}}{\partial y^2} - \rho_f Q c_f \frac{\partial \theta_f^{(1)}}{\partial y} - mnc_i \Phi (\theta_f^{(1)} + \theta_f^{(0)} - \theta_i^{(0)}) &= 0 \end{aligned} \quad (2.9)$$

Решение первого из уравнений (2.9), удовлетворяющее краевому условию (1.10) при $x = 0$, следующее:

$$\theta_i^{(0)} = T_s + \frac{h}{h + \lambda_i k} (T_w - T_s) e^{-kx}, \quad k = \left(\frac{mnc_i \Phi}{\lambda_i} \right)^{1/2} \quad (2.10)$$

Уравнение для первого приближения поля температур взвешивающего потока тогда запишется в виде

$$mnc_i \Phi \theta_f^{(1)} + \lambda_f \frac{\partial^2 \theta_f^{(1)}}{\partial y^2} - \rho_f Q c_f \frac{\partial \theta_f^{(1)}}{\partial y} = mnc_i \Phi \frac{h}{h + \lambda_i k} (T_w - T_s) e^{-kx} \quad (2.11)$$

и соответствующее решение (2.11) с учетом условия (2.7) будет

$$\begin{aligned} \theta_f^{(1)} &= \frac{h}{h + \lambda_i k} (T_w - T_s) e^{-kx} (1 - e^{-sy}) \\ s &= \frac{1}{2\lambda_f} \{ [(\rho_f Q c_f)^2 + 4\lambda_f mnc_i \Phi]^{1/2} - \rho_f Q c_f \} \end{aligned} \quad (2.12)$$

Уравнение для первого приближения поля температур псевдогаза такое:

$$\lambda_i \frac{\partial^2 \theta_i^{(1)}}{\partial x^2} - mnc_i \Phi \theta_i^{(1)} = - mnc_i \Phi \frac{h}{h + \lambda_i k} (T_w - T_s) e^{-kx} (1 - e^{-sy}) \quad (2.13)$$

Его решение позволяет получить распределение поля температур псевдогаза. После несложных преобразований получим

$$\begin{aligned} \langle T_f \rangle &= T_s + \frac{h}{h + \lambda_i k} (T_w - T_s) (1 - e^{-sy}) e^{-kx} + \dots \\ \langle T_i \rangle &= T_s + \frac{h}{h + \lambda_i k} (T_w - T_s) e^{-kx} + \frac{\frac{1}{2} \lambda_i kh}{h + \lambda_i k} (T_w - T_s) (1 - e^{-sy}) xe^{-kx} + \\ &+ \frac{\frac{1}{2} \lambda_i kh}{(h + \lambda_i k)^2} (T_w - T_s) (1 - e^{-sy}) e^{-kx} + \dots \end{aligned} \quad (2.14)$$

Заметим, что если $h > \lambda_i k = (mnc_i \Phi \lambda_i)^{1/2}$, то максимальная скорость теплообмена между компонентами достигается при

$$x = \frac{1}{k} \frac{h - \lambda_i k}{h + \lambda_i k} \quad (2.15)$$

3. Коэффициент теплообмена. По определению локальный коэффициент теплообмена слоя с поверхностью

$$\alpha = h \left[\frac{T_w - \langle T_i \rangle}{T_w - T_s} \right]_{x=0} = h \frac{k\lambda_i}{h + k\lambda_i} \left[\frac{k\lambda_i + 1/2 h}{k\lambda_i + h} + \frac{1/2 h}{k\lambda_i + h} e^{-sy} \right] \quad (3.1)$$

Заметим, что его величина падает по мере удаления от поддерживающей слой сетки. Этот результат хорошо подтверждается экспериментальными измерениями.

В пределах точности рассматриваемого приближения

$$\alpha_{\max} = h \frac{k\lambda_i}{h + k\lambda_i}, \quad \alpha_{\min} = \alpha_{\max} \frac{k\lambda_i + 1/2 h}{k\lambda_i + h} \quad (3.2)$$

Обозначая через d длину охлаждаемой слоем поверхности, для среднего значения коэффициента теплообмена α_0 получаем

$$\alpha_0 = \frac{1}{d} \int_0^d \alpha(y) dy = \alpha_{\max} \left[\frac{k\lambda_i + 1/2 h}{k\lambda_i + h} + \frac{1/2 h}{k\lambda_i + h} \cdot \frac{(1 - e^{-sd})}{sd} \right] \quad (3.3)$$

Из (2.12) и (2.3) следует, что $s \sim 1/L$. Для достаточно медленно прогревающихся частиц $d \ll L$, так что в этом случае

$$\alpha_0 \approx \alpha_{\max} \quad (3.4)$$

Как указывается, например, в работах [13, 14], для алюминиевых частиц величина $L \sim 2 \div 4$ см. Для частиц песка в силу их значительно меньшей теплопроводности значения L будут в несколько раз больше.

Из (3.4) и (1.10) получим выражение для α_0

$$\begin{aligned} \alpha_0 &= mnc_i w_n A \frac{k\lambda_i}{k\lambda_i + mnc_i w_n A} \\ A &= 1 - \int_0^\infty P(\xi) \exp \left[-\frac{\beta_0 \xi}{mc_i} \right] d\xi, \quad w_n = \left(\frac{\theta}{2\pi m} \right)^{1/2} \end{aligned} \quad (3.5)$$

где θ — псевдотемпература [10].

Используя выражение для k из (2.10) и λ_i из работы [11], можно показать, что с достаточной для практических целей точностью

$$\frac{k\lambda_i}{k\lambda_i + mnc_i w_n A} \approx 1 \quad (3.6)$$

Поэтому окончательно

$$\alpha_0 = mnc_i \left(\frac{\theta}{2\pi m} \right)^{1/2} \left\{ 1 - \int_0^\infty P(\xi) \exp \left[-\frac{\beta_0 \xi}{mc_i} \right] d\xi \right\} \quad (3.7)$$

Параметры β_0 и $P(\xi)$, фигурирующие в (3.7), в первом приближении могут быть определены следующим образом. Предполагая, что теплообмен между частицей и стенкой осуществляется через газовую прослойку некоторой средней толщины δ_0 , получаем

$$\beta_0 = \frac{k_f}{\delta_0} \frac{\pi \sigma^2}{4} \quad (3.8)$$

Будем также предполагать, что время нахождения частицы в зоне непосредственного теплового контакта со стенкой совпадает с удвоенным средним временем ее свободного пробега (средний промежуток времени от столкновения, отбросившего частицу к стенке, до следующего столкновения после соударения со стенкой). Тогда

$$\lambda = o \left(\frac{1}{N} \right)^{1/3}, \quad N = nv_*, \quad P(\xi) = \delta \left(\xi - \frac{2\lambda}{w_n} \right) \quad (3.9)$$

Подставляя (3.8) и (3.9) в (3.7), окончательно получаем

$$\alpha_0 = mnc_i \left(\frac{\theta}{2\pi m} \right)^{1/2} \left\{ 1 - \exp \left[- \frac{\pi k_f \sigma^3}{2\delta_0 m c_i N^{1/3}} \left(\frac{2m\pi}{\theta} \right)^{1/2} \right] \right\} \quad (3.10)$$

Выражение для θ получено в работе [10]

$$\begin{aligned} \theta &= \frac{mD}{3} \omega^2 \left\{ \frac{1}{1 - \omega N} + \frac{1}{\omega} \frac{\partial \ln \Phi}{\partial N} \right\}^2 \frac{N^2 (1 - N)^2 Q^2}{(1 - \omega N)^2 (1 - 17/32 N^2 + 11/16 N^3 - N)} \\ \omega &= \pi \sigma^3 / 6 v_* \end{aligned} \quad (3.11)$$

Здесь Φ — стоксов коэффициент сопротивления частицы, рассчитанный на единицу массы, а Q — скорость взвешивающего потока газа в свободном сечении аппарата.

В стационарном состоянии слоя Q и N связаны между собой определенной зависимостью [15]. Если использовать для расчетов зависимость для Φ , предложенную в работе [16], то

$$Q = \frac{v_f}{\sigma} \frac{A_r (1 - \omega N)^{4.75}}{18 + 0.6 [A_r (1 - \omega N)^{4.5}]^{1/2}}, \quad A_r = \frac{g \sigma^3}{v_f^2} \frac{\rho_i}{\rho_f} \quad (3.12)$$

На фигуре 1 приведены результаты расчетов величины α_0 в зависимости от Q по формулам (3.10) — (3.12) для опытов с кварцевым песком [17], в которых достаточно точно выполнены условия справедливости полученных зависимостей. При проведении расчетов принято $\omega = 0.6$, $D = 10^{-2}$, $\delta_0 = 0.86$. Непрерывные кривые соответствуют теоретическим зависимостям, а экспериментальные точки нанесены по данным [17, 18]. Анализ полученных результатов позволяет утверждать, что теоретические результаты не только приводят к хорошему качественному совпадению с экспериментом, но и обнаруживают удовлетворительное количественное согласие.

При больших скоростях взвешивающего потока ход зависимости α_0 (ккал/м² час · град) от Q (м/сек) также хорошо качественно согласуется (фигура) с известными экспериментальными данными [18]. Опыты в этом случае проводились со стеклянными шариками, теплофизические свойства которых отличаются от соответствующих свойств кварцевого песка, хотя это различие и не очень значительно. Соответствующие этому случаю экспериментальные точки для частиц, диаметры которых близки к использованным в опытах [17], нанесены на фиг. 1 по данным работы [18]. Более низкое расположение экспериментальных точек из [18] на фиг. 1 для частиц близких диаметров связано с гораздо большей неоднородностью распределения частиц по высоте в слое по сравнению с [17]. Величина максимума α_0 растет с уменьшением диаметра частиц, и кривые на фигуре соответствуют частицам с диаметрами $3.15 \cdot 10^{-2}$, $4.5 \cdot 10^{-2}$, $7.5 \cdot 10^{-2}$ см для кварцевого песка 1, 2, 3 и $8.5 \cdot 10^{-2}$ и $4.5 \cdot 10^{-2}$ см для стеклянных шариков 4, 5.

Фиг. 1
Авторы благодарны В. Г. Левицу за внимание и ценные обсуждения.

Поступила 7 V 1968

ЛИТЕРАТУРА

- Heerden C. van, Nobels A. P. P., Krevelen D. W. Mechanism of heat transfer in fluidized beds. Industr. Engng. Chem., 1953, vol. 45, No. 6, pp. 1237—1242.
- Mickley H. S., Fairbanks D. F. Mechanism of heat transfer to fluidized bed. A. J. Ch. E. Jurnal, 1955, vol. 1, No. 3, pp. 374—384.
- Забродский С. С. К анализу экспериментальных данных по переносу тепла псевдоожженным слоем. Инж.-физ. ж., 1958, т. 1, № 4, стр. 22—30.
- Ernst R. Der Mechanismus des Wärmeüberganges an Wärmeaustauscher in Fließbetten (Wirbelschichten). Chem. Ing. Techn., 1959, vol. 31, No. 3, pp. 166—173.
- Рукенштейн Э. К вопросу о механизме тепло- или массопередачи в кипящем слое. Ж. прикл. химии, 1962, т. 35, № 1, стр. 70—80.
- Reuter H. Mechanismus der Blasen im Gas — Feststoff — Fließbett, Chem., Ing. Techn., 1963, vol. 35, No. 3, pp. 219—228.
- Тодес О. М., Бондарев А. К. Теплоотдача от кипящего слоя к поверхности теплообмена. В сб. «Применение кипящего слоя в народном хозяйстве СССР». М., 1965 (Центр. н.-и. ин-т информ. и техн.-экон. исслед. цветной металлургии).
- Басаков А. П. Механизм теплообмена между кипящим слоем и поверхностью. Инж.-физ. ж., 1963, т. 6, № 11, стр. 20—25.

9. Гальперин Н. И., Айнштейн В. Г., Зайковский А. В. О механизме теплообмена между поверхностью и неоднородным псевдоожиженным слоем зернистых материалов. Хим. пром.-сть, 1966, № 6.
10. Мясников В. П. О динамических уравнениях движения двухкомпонентных систем. ПМТФ, 1967, № 2.
11. Мясников В. П. О процессах тепло-массообмена в псевдоожиженном слое. Тр. III Всес. совещания по тепло-массообмену. Минск, 1968, т. 9.
12. Мясников В. П. Кинетическая модель процессов теплопереноса в кипящем слое. МЖГ, 1967, № 4.
13. Сыромятников Н. И., Васанова Л. К., Шиманский Ю. Н. Тепло и массообмен в кипящем слое. М., «Химия», 1967.
14. Васанова Л. К. О высоте активной зоны в кипящем слое. Цветн. металлы, 1965, № 2.
15. Мясников В. П. О распределении взвешенных частиц в кипящем слое. ПМТФ, 1968, № 3.
16. Горопшко В. Д., Розенбаум Б. Р., Тодес О. М. Приближенные закономерности гидравлики взвешенного слоя и стесненного падения. Изв. вузов, Нефть и газ, 1958, № 1.
17. Wicke E., Fetting F. Wärmeübertragung in Gaswirbelschichten. Chem.—Ing. Techn., 1954, B. 26, № 6, pp. 301—309.
18. Mickley H. S., Trilling Ch. A. Heat transfer characteristics of fluidized beds. Industr. Engng. Chem., 1949, vol. 41, pp. 1135—1147.

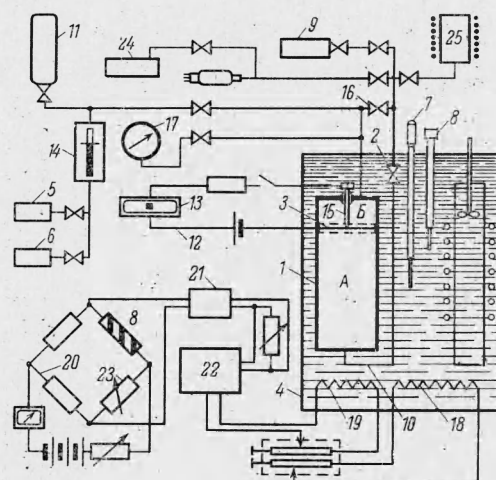
ЭКСПЕРИМЕНТАЛЬНОЕ ИССЛЕДОВАНИЕ Р-ν-Т ЗАВИСИМОСТИ ПАРОВ ФРЕОНА-21

А. Н. Соловьев, Е. П. Шелудяков, А. А. Шиляков
(Новосибирск)

Фреон-21 является весьма перспективным рабочим телом для водо-фреоновых энергетических установок. Однако необходимые для термодинамических расчетов данные по Р-ν-Т зависимости немногочисленны и охватывают, в основном, интервал небольших давлений (до 6 бар) [1].

Проведены систематические исследования Р-ν-Т зависимости паров фреона-21 в интервале температур от 293 до 473°К и давлений от 1.5 до 68.5 бар методом безбалластного пьезометра постоянного объема.

Схема экспериментальной установки представлена на фиг. 1. Пьезометр 1 объемом $420.44 + 0.07 \text{ см}^3$ при 293°К (с учетом объема заполнительной трубки 10 до горячего вентиля 2) выполнен из нержавеющей стали 1Х18Н9Т. Толщина стенки $\sim 25 \text{ мм}$ обеспечивает изменение объема при максимальном давлении (100 бар) не более 0.005%. В верхней части пьезометра размещен мембранный пульс-индикатор давления 3 электроконтактного типа. Плоская мембрана из нержавеющей стали 1Х18Н9Т толщиной $\delta = 0.1 \text{ мм}$ и диаметром $d = 50 \text{ мм}$ помещена между двумя перфорированными толстыми дисками. Верхний диск плоский, нижний имеет профиль прогиба мембрани в пределах упругих деформаций с максимальной стрелой прогиба $\sim 0.4 \text{ мм}$. В центре мембрани и на конце контактного стержня 15 напаяны серебряные контакты. Контакты были тщательно отполированы; это обеспечило надежную фиксацию момента замыкания и размыкания электрической цепи 12. Ток в цепи контактного датчика не превышал $1 \mu \text{ A}$. В качестве показывающего прибора использован микроамперметр 13 типа М-136. Ком-



Фиг. 1